



Ricerca di Sistema elettrico

Prove di CREEP-RUPTURE su materiali strutturali ricoperti per applicazioni in sistemi refrigerati a metallo liquido pesante

A. Coglitore, A. Strafella

PROVE DI CREEP-RUPTURE SU MATERIALI STRUTTURALI RICOPERTI PER APPLICAZIONI IN SISTEMI
REFRIGERATI A METALLO LIQUIDO PESANTE

A. Coglitore, A. Strafella - ENEA

Settembre 2015

Report Ricerca di Sistema Elettrico

Accordo di Programma Ministero dello Sviluppo Economico - ENEA

Piano Annuale di Realizzazione 2014

Area: Produzione di energia elettrica e protezione dell'ambiente

Progetto: Sviluppo competenze scientifiche nel campo della sicurezza nucleare e collaborazione ai programmi internazionali per il nucleare di IV Generazione

Linea: Collaborazione internazionale per il nucleare di IV Generazione

Obiettivo: Materiali e fabbricazioni

Responsabile del Progetto: Mariano Tarantino, ENEA

Titolo

Prove di CREEP-RUPTURE su materiali strutturali ricoperti per applicazioni in sistemi refrigerati a metallo liquido pesante

Descrittori

Tipologia del documento: Rapporto Tecnico
Collocazione contrattuale: Accordo di programma ENEA-MSE su sicurezza nucleare e reattori di IV generazione
Argomenti trattati: Generation IV reactors
 Caratterizzazione dei materiali
 Metallurgia
 Microstruttura dei materiali
 Corrosione

Sommario

In accordo con le attività svolte nel PAR2012 LP2 B1 dell' ADP ENEA-MSE e del PAR2013 LP2 B1 dell' ADP ENEA-MSE , che avevano come obiettivo la caratterizzazione termomeccanica a lungo termine "CREEP-RUPTURE" di materiali strutturali convenzionali (acciai austenitici e acciai ferritici/martensitici) ricoperti a base di FeAl, FeCrAl e TiN simulando le condizioni operative tipiche del sistema LFR, ENEA ha realizzato l'attrezzatura per effettuare i test in ambiente ostile .

Sono state eseguite delle prove nelle seguenti condizioni del materiale di riferimento individuato nel ADP ENEA-MSE PAR2013 LP2.b1_h (15-15 Ti (Si)):

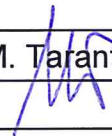
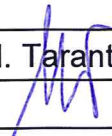
- 550°C; 400MPa; in aria;
- 550°C; 558MPa; in aria;
- 550°C; 558MPa; in Pb.

I risultati delle prove sono stati quindi elaborati e confrontati fra loro.

Note:
Autore:

A. Coglitore, A. Strafella (ENEA)

Copia n.
In carico a:

2			NOME			
			FIRMA			
1			NOME			
			FIRMA			
0	EMISSIONE	24/09/2015	NOME	A. Coglitore	M. Tarantino	M. Tarantino
			FIRMA			
REV.	DESCRIZIONE	DATA		REDAZIONE	CONVALIDA	APPROVAZIONE

Indice

<u>1.</u>	<u>Introduzione</u>	3
<u>2.</u>	<u>Realizzazione della attrezzatura di prova</u>	3
<u>3.</u>	<u>Test di CREEP-RUPTURE su 15-15 Ti (Si)</u>	4
<u>3.1</u>	<u>Parametri della prova</u>	5
<u>3.2</u>	<u>Test di creep sul campione [201] PM 51012</u>	5
<u>3.3</u>	<u>Test di creep sul campione [200] PM 50912</u>	7
<u>3.4</u>	<u>Test di creep sul campione [199] PM 50812 in Pb</u>	9
<u>4.</u>	<u>Risultati</u>	12
<u>4.1</u>	<u>Confronto prove in aria</u>	12
<u>4.2</u>	<u>Confronto prova in aria e prova in piombo a 558MPa</u>	13
<u>4.3</u>	<u>Analisi delle steady-state creep rate (sscr)</u>	14
<u>5.</u>	<u>Conclusioni</u>	16
<u>6.</u>	<u>Bibliografia</u>	17
<u>7.</u>	<u>Allegato A</u>	18

 Ricerca Sistema Elettrico	Sigla di identificazione	Rev.	Distrib.	Pag.	di
	ADPFISS – LP2 – 096	0	L	3	18

Introduzione

Nell’ambito del PAR2012 e del PAR2013 in accordo con i rapporti tecnici dal titolo “*Messa a punto di prove meccaniche in piombo liquido stagnante per la caratterizzazione di materiali strutturali ricoperti per applicazioni nucleari*” relativo al PAR2012 LP2 B1 dell’ ADP ENEA-MSE e “*Prove di CREEP-RUPTURE su materiali strutturali ricoperti per applicazioni in sistemi refrigerati a metallo liquido pesante*” relativo al PAR2013 LP2 B1 dell’ ADP ENEA-MSE, che aveva come obiettivo di caratterizzare con prove termomeccaniche a lungo termine “CREEP-RUPTURE” materiali strutturali convenzionali (acciai austenitici e acciai ferritici/martensitici) ricoperti a base di FeAl, FeCrAl e TiN simulando le condizioni operative tipiche del sistema LFR, ENEA ha realizzato l’attrezzatura di prova per i test in metallo liquido ed ha effettuato delle prove preliminari in aria per verificare quanto incide la corrosione del piombo sui materiali presi come riferimento

In particolar modo avendo individuato come materiale prioritario il [15-15 Ti(Si)], sono state eseguite in quest’anno di riferimento delle prove nelle seguenti condizioni:

- 550°C; 400MPa; in aria;
- 550°C; 558MPa; in aria;
- 550°C; 558MPa; in Pb.

I risultati delle prove sono stati quindi elaborati e confrontati fra di loro.

Realizzazione della attrezzatura di prova

Come già previsto nell’ambito del PAR2012 e PAR2013 LP2 B1 dell’ ADP ENEA-MSE e “*Prove di CREEP-RUPTURE su materiali strutturali ricoperti per applicazioni in sistemi refrigerati a metallo liquido pesante*” relativo al PAR2013 LP2 B1 dell’ ADP ENEA-MSE, l’officina tecnica Enea presente presso il C.R. Brasimone ha provveduto alla realizzazione ed ultimizzazione dell’attrezzatura necessaria per la realizzazione della facility di prova per poter effettuare i test di creep-rupture in piombo, (vedi Allegato A ADPFISS – LP2 – 066).

Test di CREEP-RUPTURE su 15-15 Ti (Si)

I test di creep sono stati eseguiti con lo strumento **MAYER & SON T.C. 20** che ha le seguenti caratteristiche:

- Carico max applicabile: **20kN**
- $T_{\max} \approx 1000\text{ °C}$

Di seguito alcune foto che illustrano il posizionamento del campione nello strumento in aria (figura 1,2,3 e 4) e in piombo (figura 5 e 6).

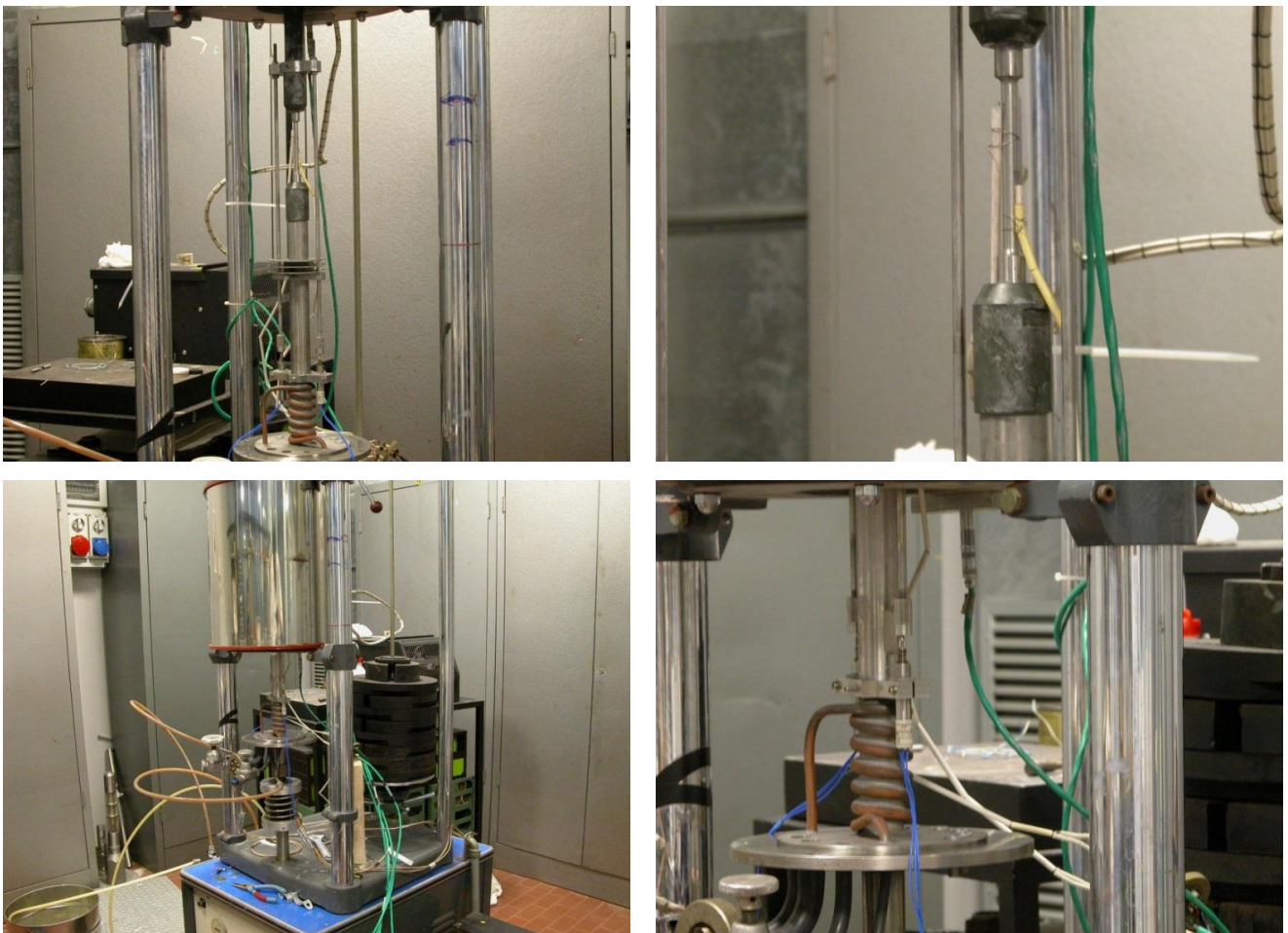


Figure 1,2,3 e 4: montaggio campioni in aria

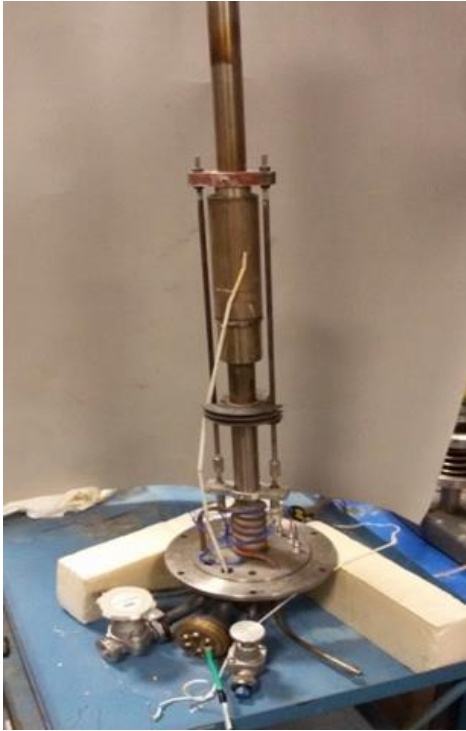


Figure 5 e 6: montaggio campioni in Pb

Parametri della prova

I parametri principali per il test di creep sono la **temperatura** ed il **carico**.

La temperatura scelta è **550° C**, in accordo con quanto esposto nel rapporto tecnico ADPFISS – LP2 –066 relativo al PAR2013 dell' ADP ENEA-MSE.

Le prove a trazione sul materiale di riferimento, 15-15 Ti(Si), hanno fornito informazioni utili per l'individuazione di opportuni carichi per il test di Creep. In particolare, si è scelto di adoperare **carichi** prossimi allo snervamento ($\sigma_{sn} = 554\text{MPa}$, vedi Allegato A):

- 400 MPa
- 558 MPa

È stato condotto anche un test in piombo:

- 558 MPa in Pb

I risultati del test sono riportati di seguito.

Test di creep sul campione [201] PM 51012

Il primo test è stato effettuato nelle seguenti condizioni:

- **T** = 550°C
- **σ** = 400MPa
- **nome campione:** [201] PM 51012
- **Ambiente di prova:** Aria

La curva risultante è riportata nella figura seguente (figura 7).

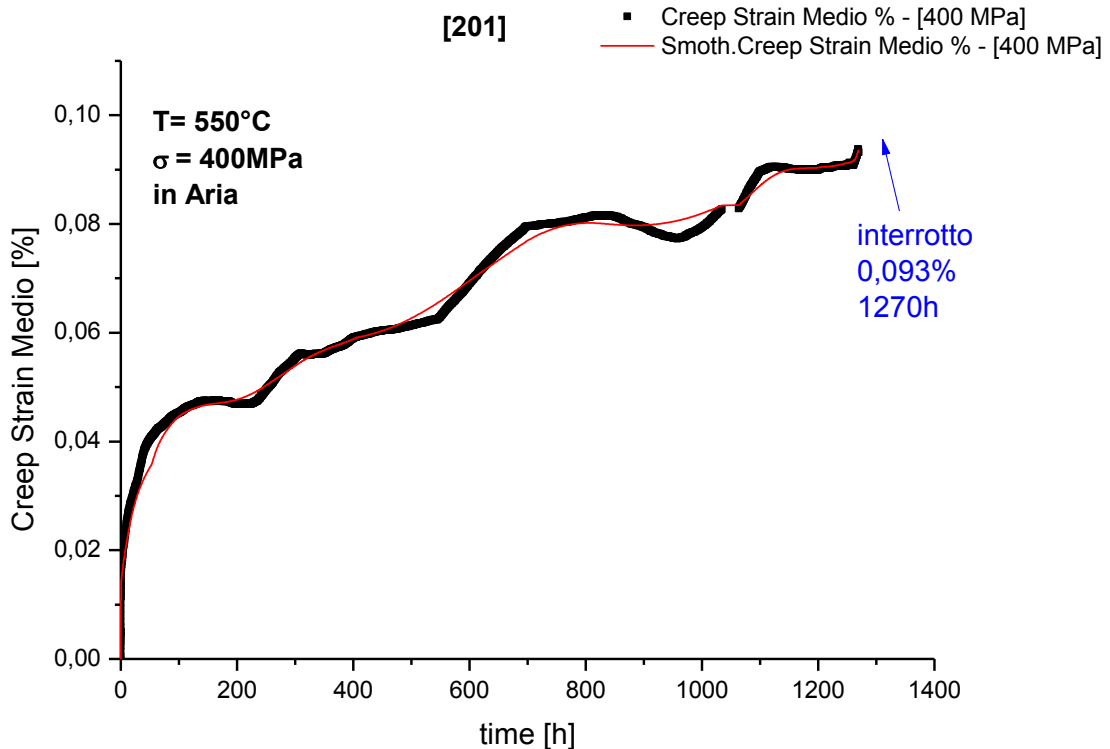


Figura 7: curva di creep reale e curva di smoothing relativa al campione [201]

Come si può notare il test ha avuto un'interruzione a 1270 h; nonostante questo, si può ipotizzare che il secondario abbia avuto inizio.

È stato quindi calcolato uno dei parametri più importanti del test di creep: la steady state creep rate (sscr), ossia la velocità di deformazione del creep secondario, che è costante; per una maggiore validità del risultato, sono stati effettuati diversi fit lineari scegliendo un range temporale compreso nell'intervallo tra 300h e 1270h.

I risultati ottenuti sono di seguito riportati:

σ [MPa]	Sscr [1/h]	Metodologia calcolo
400	$3,93 \cdot 10^{-7}$	Fit lineare 1

400	$4,21 \cdot 10^{-7}$	Fit lineare 2
400	$3,15 \cdot 10^{-7}$	Fit lineare 3

Tabella1

Come si può notare i valori calcolati sono del tutto analoghi e appartenenti allo stesso ordine di grandezza.

Si è scelto di considerare come sscr a 400MPa il seguente valore:

σ [MPa]	Sscr [1/h]
400	$3,93 \cdot 10^{-7}$

Tabella 2

Test di creep sul campione [200] PM 50912

Al fine di avere una curva completa in tempi misurabili e più brevi rispetto al test precedente e tale da potesse essere usata come confronto, si è scelto di aumentare il carico a 558 [MPa], carico maggiore di 4MPa rispetto allo stress di snervamento medio ottenuto dalle prove di trazione (vedi Alletato A).

I parametri utilizzati per il test sono stati:

- **T**= 550°C
- **σ** = 558MPa
- **nome campione:** [200] PM 50912
- **Ambiente di prova:** Aria

La curva risultante è riportata nella figura seguente (figura 8). Come nel caso precedente, sono stati depurati i dati attraverso lo smoothing.

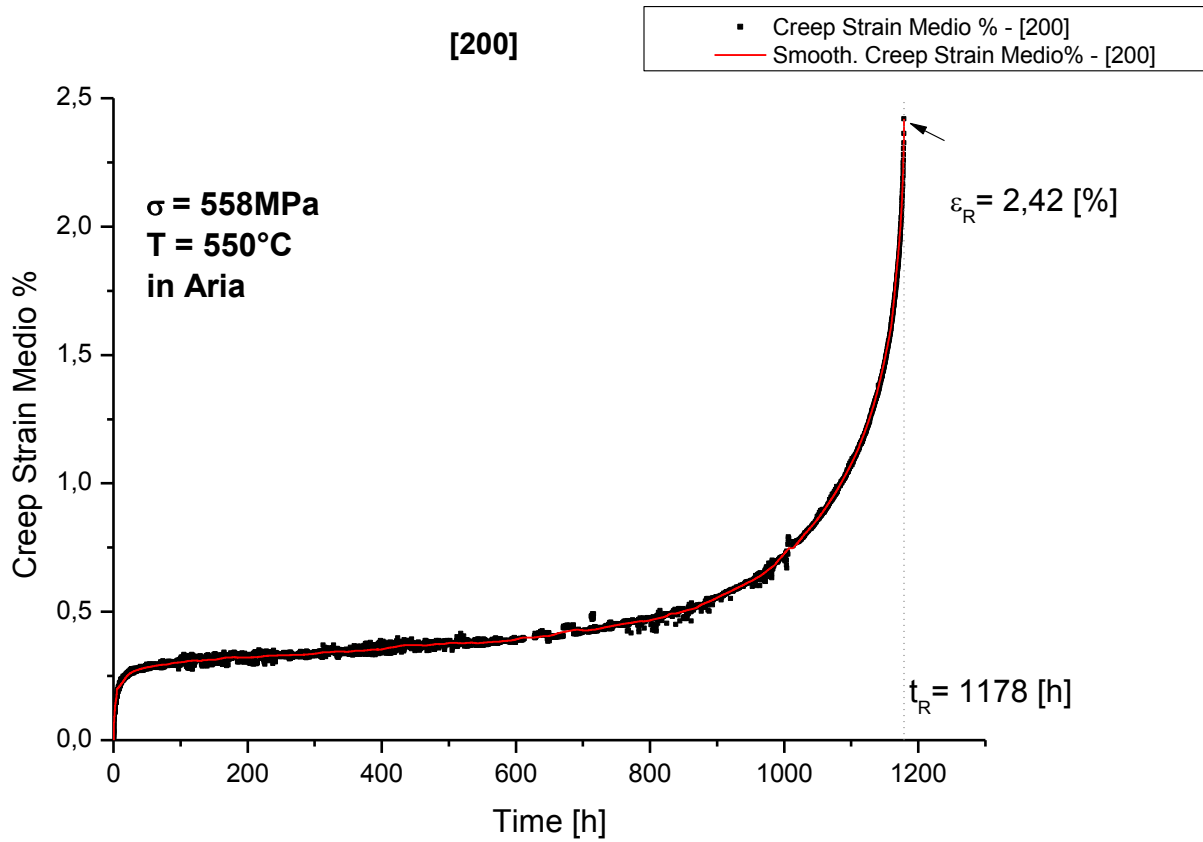


Figura 8: curva di creep reale e curva di smoothing relativa al campione [200]

Per il campione in esame si è giunti sino a rottura, avvenuta a 1178h.

È stata calcolata quindi la sscr, con il metodo del fit lineare nel secondario (figura 9).

[200]

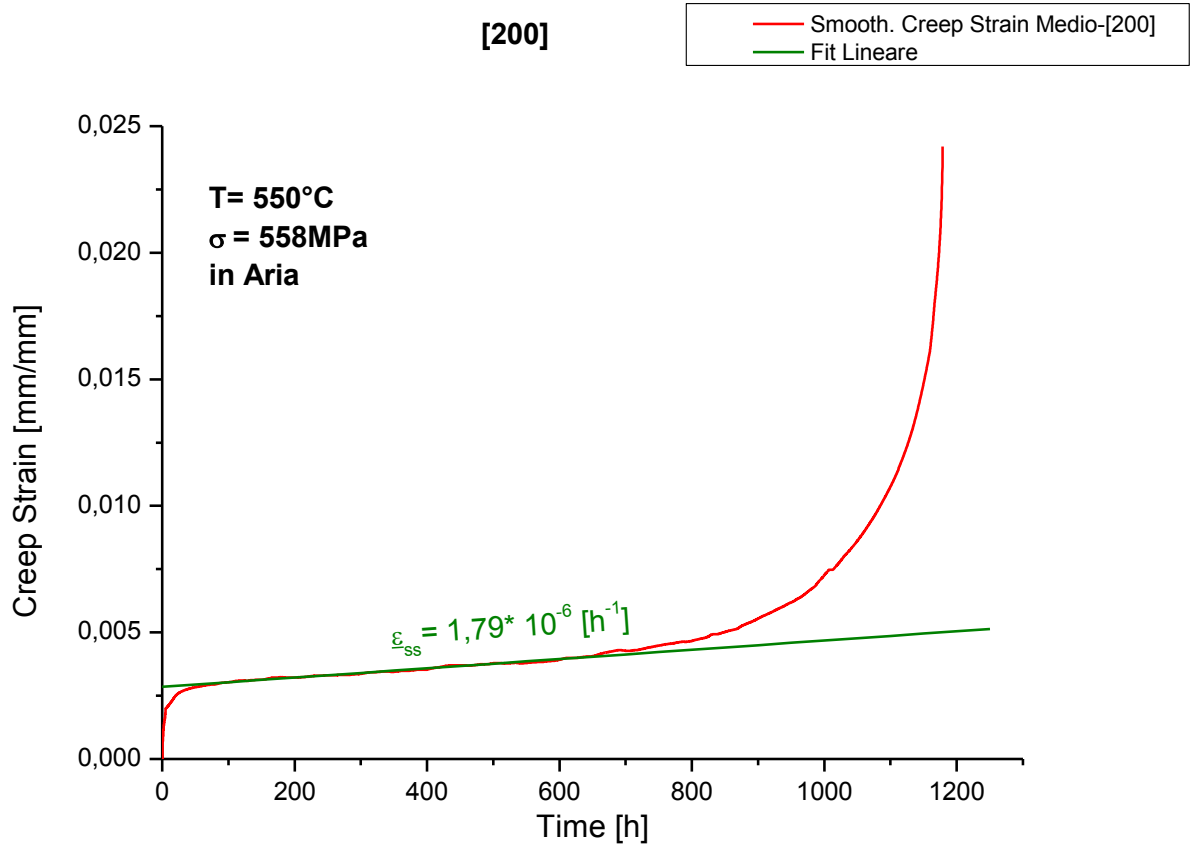


Figura 9: fit lineare e sscr

Come risulta evidente dalla figura 9, il secondario è ben definito e la sscr è stata quindi calcolata con un'elevata attendibilità (tabella 3).

σ [MPa]	Sscr [1/h]	Metodologia calcolo
558	$1,79 \cdot 10^{-6}$	fit lineare

Tabella 3

Test di creep sul campione [199] PM 50812 in Pb

Al fine di simulare il comportamento del materiale in ambiente ostile, è stata effettuata una prova di creep in Pb. Il carico applicato è stato 558MPa, analogo al campione [200] PM

50912. Questo ha permesso di valutare la variazione delle proprietà a creep dovuta alla corrosione del Pb.

I parametri utilizzati per il test sono stati:

- $T = 550^{\circ}\text{C}$
- $\sigma = 558\text{MPa}$
- **nome campione:** [199] PM 50812
- **Ambiente di prova:** Piombo

La curva risultante è riportata nella figura seguente (figura 10). Come nel caso precedente, sono stati depurati i dati attraverso lo smoothing.

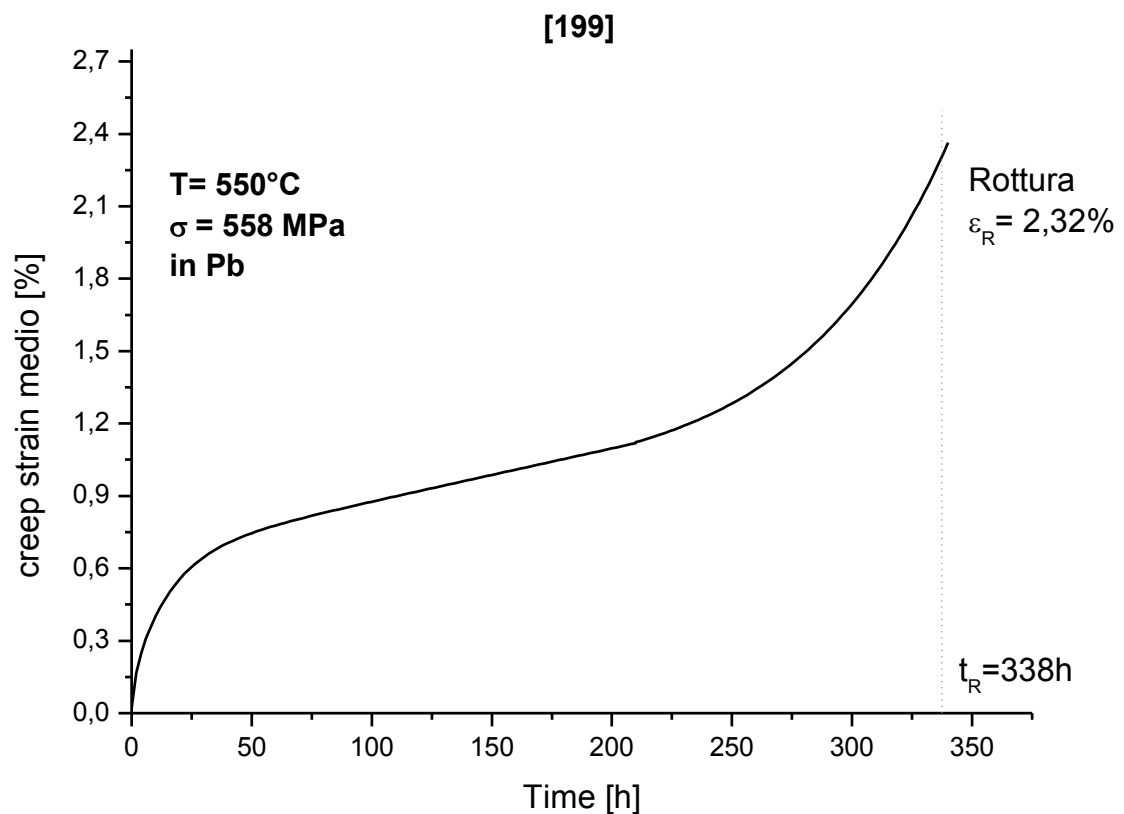


Figura 10: curva di creep del [199]

Per il campione in esame si è giunti sino a rottura, avvenuta a 338h.

È stata calcolata quindi la sscr, con il metodo del fit lineare nel secondario (figura 11).

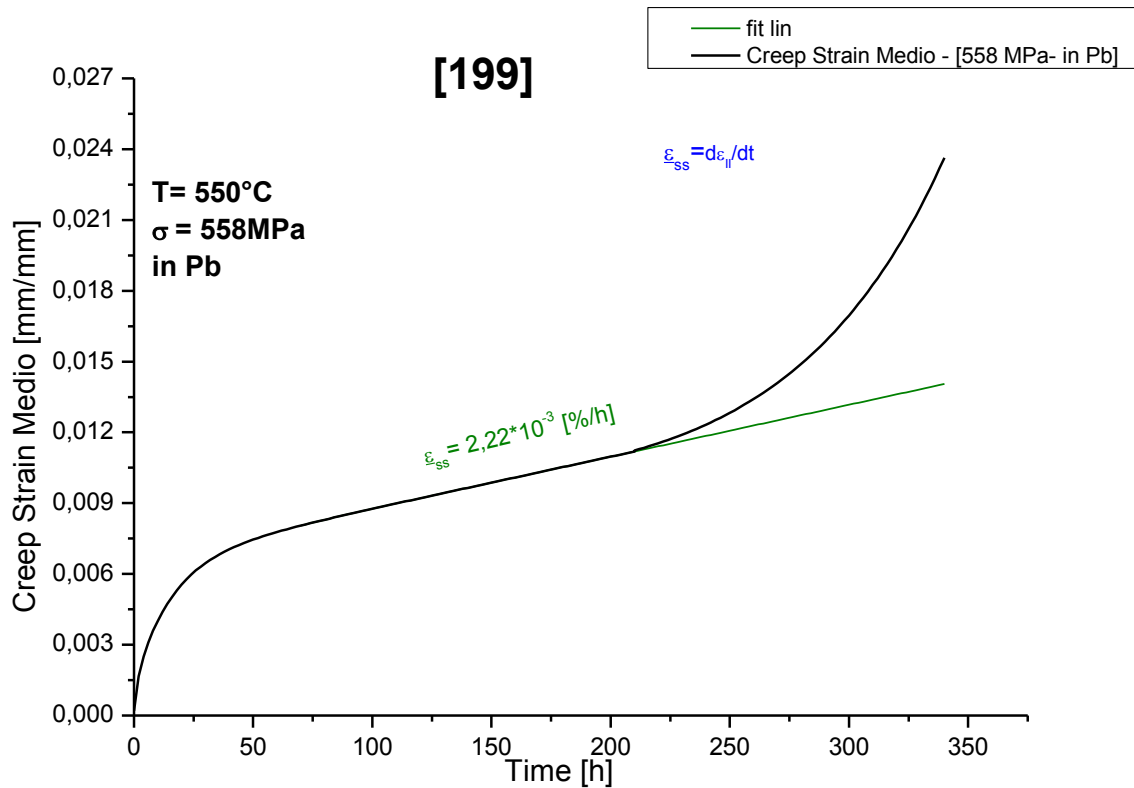


Figura 11: fit lineare e sscr

Come risulta evidente dalla figura 11, il secondario è ben definito e la sscr è stata quindi calcolata con un'elevata attendibilità (tabella 4).

σ [MPa]	Sscr [1/h]	Metodologia calcolo
558	$2,22 \cdot 10^{-3}$	fit lineare

Tabella 4

Si precisa che durante la fase di carico, il campione ha presentato un sensibile allungamento che fa presupporre una riduzione della sezione del provino. Il carico effettivo applicato sulla sezione, pertanto, potrebbe essere maggiore di quanto preventivato. Si può ipotizzare che le cause di questo fenomeno possano essere correlate o ad una difettosità del campione o ad una elevata corrosione in fase di riscaldamento o una concomitanza dei due effetti.

Questo è oggetto di indagine nella sperimentazione in corso che prevede ulteriori prove in Pb.

Risultati

Confronto prove in aria

La figura 12 illustra tutte le curve ottenute per i test di Creep effettuati in aria.

I risultati sono coerenti con le aspettative. Si può infatti notare come al crescere del carico a parità di tempo, aumenti la deformazione e a parità di deformazione, il tempo diminuisca.

Si è riusciti a portare a rottura in tempi accettabili solo il campione sottoposto a 558MPa.

Gli altri due test, pur non essendo arrivati a rottura in tempi compatibili con il progetto (sono stati interrotti), hanno fornito importanti informazioni sul secondario.

Anche il calcolo della *steady state creep rate* (sscr) è coerente con le aspettative: molto lenta per sollecitazioni basse, aumenta all'aumentare del carico.

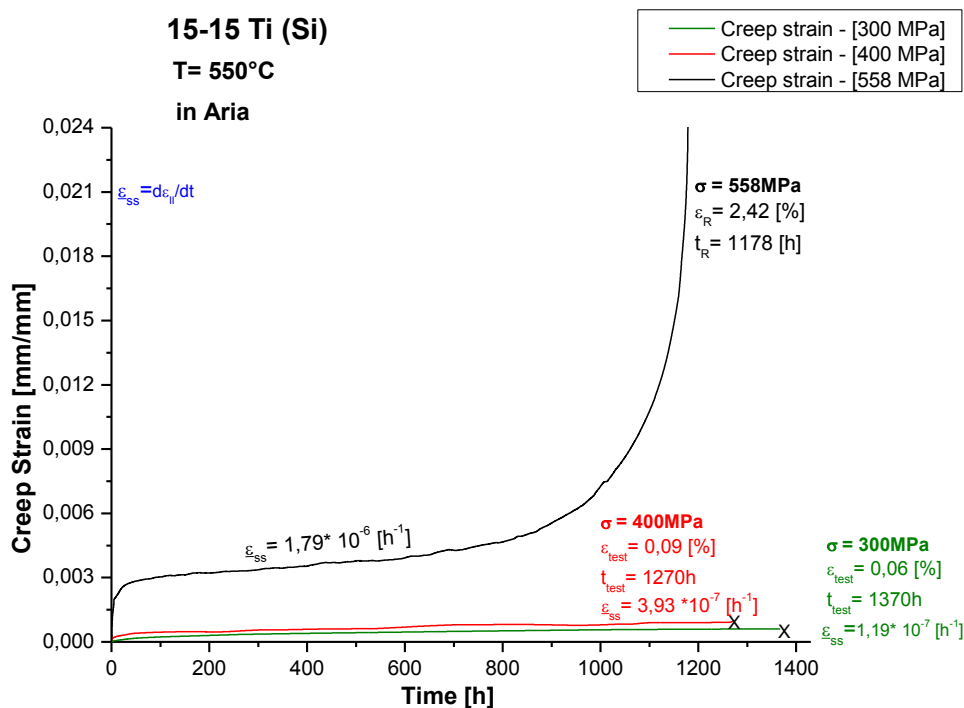


Figura 12: confronto curve di creep in aria

Nella tabella 5 sono riportate le sscr relative alle tre prove in aria.

σ [MPa]	Sscr [1/h]
300	$1,19 \cdot 10^{-7}$

400	$3,93 \cdot 10^{-7}$
558	$1,79 \cdot 10^{-6}$

Tabella 5

Confronto prova in aria e prova in piombo a 558MPa

La figura 13 illustra le curve ottenute per i test di Creep effettuati a 558MPa in ambienti diversi: aria e piombo.

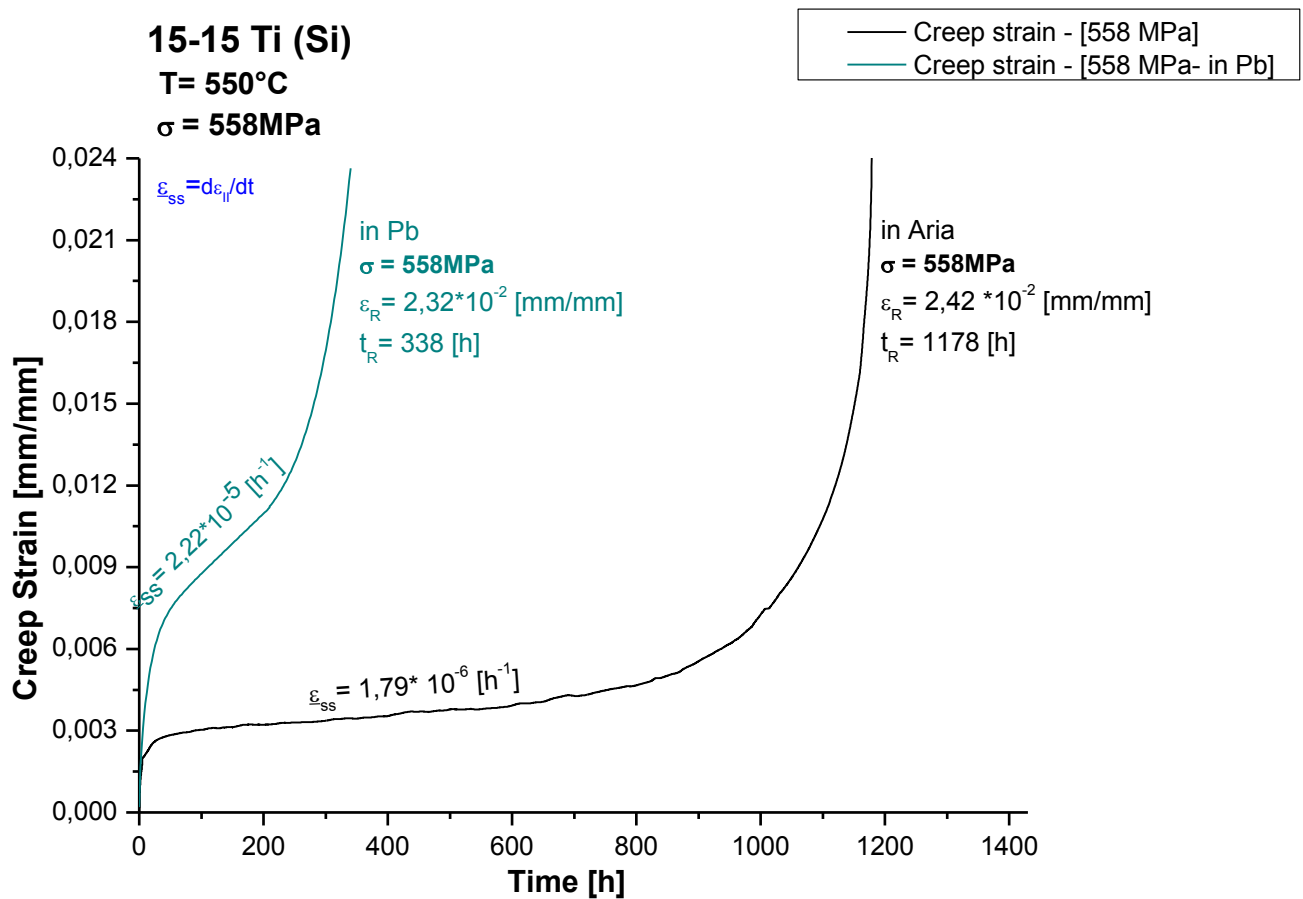


Figura 13: confronto curve di creep in piombo

I risultati sono coerenti con le aspettative in quanto, come evidenziato dalla figura 13, si ha un aumento della sscr quindi un decremento delle proprietà a creep con una sensibile riduzione del tempo di rottura.

La valutazione dell'effetto corrosivo del piombo sul 15-15Ti(Si) e la sua reale influenza sulle proprietà a creep verrà fatta a valle della campagna sperimentale, attualmente in corso. Questo al fine di indagare su quanto esposto nel paragrafo 3.4 sull'allungamento del campione prima della prova a creep.

Nella tabella 5 sono riportate le sscr relative alle prove in aria e in piombo a 558MPa.

σ [MPa]	Sscr [1/h]	
	Aria	Piombo
558	$1,79 \cdot 10^{-6}$	$2,22 \cdot 10^{-5}$

Tabella 6

Analisi delle steady-state creep rate (sscr)

Nel grafico bilogaritmico sscr-stress in figura 14, sono state riportate le sscr determinate per ogni singolo test effettuato, sia in aria che in Piombo.

Mediante diversi fit lineari, per i test in aria, sono stati calcolati i parametri n ed A della legge di Norton che è ad oggi quella più usata per lo stadio secondario del creep. Viene riportata di seguito.

$$\dot{\epsilon}_s = A \sigma^n$$

dove $\dot{\epsilon}_s$ è la steady state creep rate, n è l'esponente dello sforzo, A include i parametri della microstruttura del materiale e σ è lo stress applicato.

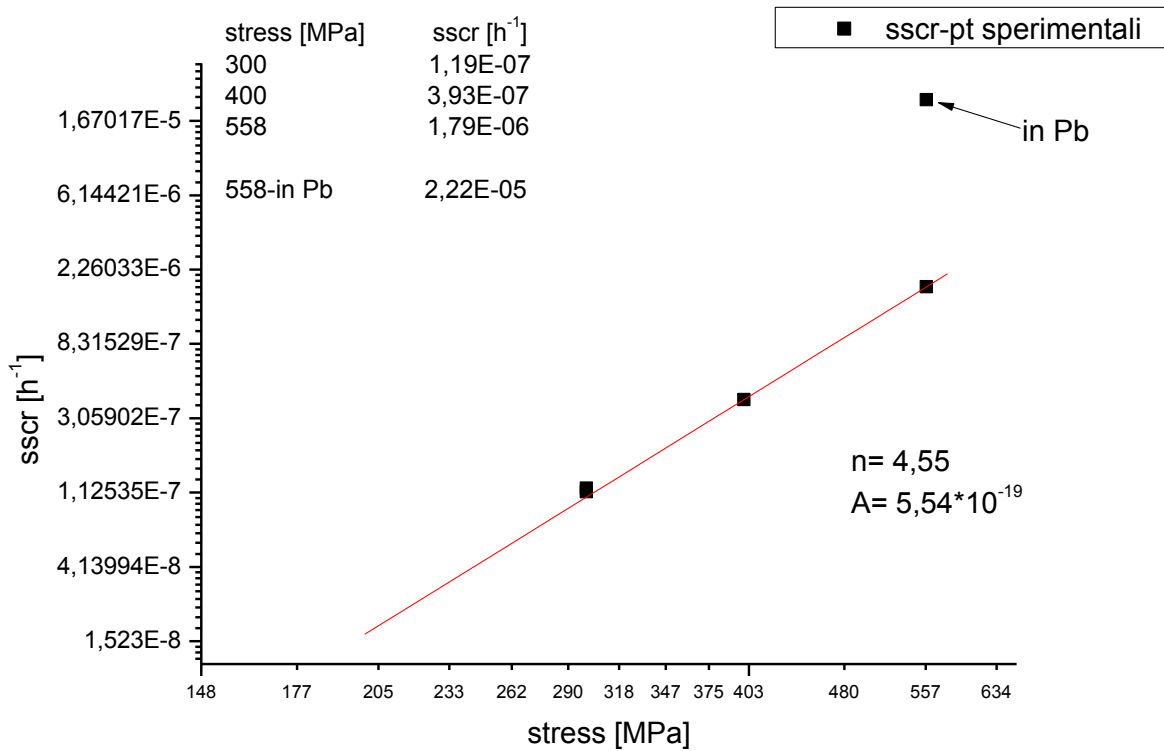


Figura 14: sscr dei test

Occorre fare una precisazione per quanto riguarda il test a 300MPa, oggetto di studio nel PAR2013 LP2 B1ADP ENEA-MSE “*Prove di CREEP-RUPTURE su materiali strutturali ricoperti per applicazioni in sistemi refrigerati a metallo liquido pesante*”.

Il fit lineare che meglio approssima i risultati di sscr ottenuti è quello in cui si considera il secondario del test a 300MPa con inizio a 1000h (vedi ADPFISS – LP2 – 066).

Nella tabella seguente si riportano i valori ottenuti:

n	A
4,55	5,54* 10 ⁻¹⁹

Tabella 7

L’attendibilità dei risultati ottenuti è confermata da quanto trovato in letteratura per gli acciai, con n compreso fra 4 e 5.

 Ricerca Sistema Elettrico	Sigla di identificazione	Rev.	Distrib.	Pag.	di
	ADPFISS – LP2 – 096	0	L	16	18

Conclusioni

Nell'ambito del ADP ENEA-MSE PAR2014 LP2.b1 sono state svolte le seguenti attività:

- alla realizzazione ed ultimizzazione dell'attrezzatura necessaria per la realizzazione della facility di prova per poter effettuare i test di creep-rupture in piombo;
- test di CREEP in aria di un acciaio austenitico 15-15 Ti (Si) a due differenti livelli di carico (400 e 558MPa) ;
- test di CREEP in piombo di un acciaio austenitico 15-15 Ti (Si) a 558MPa
- confronto dei risultati ottenuti
- determinazione dei parametri del secondario per i test in aria, in accordo con la legge di Norton

 Ricerca Sistema Elettrico	Sigla di identificazione	Rev.	Distrib.	Pag.	di
	ADPFISS – LP2 – 096	0	L	17	18

Bibliografia

- [1] *New improved steel grades for the future nuclear energy production* – P.Gimondo-congresso Vilnius 17 October 2013
- [2] bomet.fci.unibo.it/pal/Doc_6.PDF
- [3] PAR2013 LP2 B1 ADP ENEA-MSE “*Prove di CREEP-RUPTURE su materiali strutturali ricoperti per applicazioni in sistemi refrigerati a metallo liquido pesante*”
ADPFISS – LP2 – 066
- [4] *Atlas of creep and Stress-rupture curves* – ASTM International-Howard E. Boyer
- [5] ASTM E139-11 Standard Test Methods for Conducting Creep, Creep-Rupture, and Stress-Rupture Tests of Metallic Materials
- [6] ASTM E8-13a Standard Test Methods for Tension Testing of Metallic Materials

Allegato A

 Lab. Prove Meccaniche C.R. Brezzone 40032 Camignone (Bs) Tel. 0534-801143-801204	Data: 21 maggio 2013 Tipo test: Trazione con estensimetro Lotto campioni: 15-15 Ti (Si) Tarantino Cristalli Temperatura test: 550 °C Estensimetro: Est. 632.41C-11 Macchina: MetroCoM Cella di carico: 50 kN Variabile di controllo: Corsa
Materiale: 15-15 Ti (Si) -G110E2C	Caratteristiche del campione campione vergine

	Nome del campione	Fs 0,2% [kN]	Ft [kN]	Fmax [kN]	Fu [kN]	O s0,2% [N/mm ²]	O t [N/mm ²]	O max [N/mm ²]	O u [N/mm ²]	E [N/mm ²]	Agt [%]
1	[81] PM 38912	15,87	17,24	18,19	14,88	563,09	611,92	645,54	527,88	136430	3,8
2	[82] PM 39012	16,36	17,93	18,65	14,43	580,49	636,34	661,96	512,09	158290	2,3
3	[83] PM 39112	14,21	16,43	17,57	12,90	504,24	583,02	623,54	457,91	155102	2,4
4	[84] PM 39212	15,19	16,78	17,85	13,04	538,93	595,35	633,32	462,66	131234	2,6
5	[85] PM 39312	15,39	16,79	17,89	13,02	546,00	595,76	634,70	462,20	122246	2,7
6	[86] PM 39412	15,44	16,94	17,78	7,00	546,13	599,13	628,86	247,54	144727	2,3
7	[87] PM 39512	15,95	16,79	17,76	14,26	565,90	595,87	630,12	505,88	120622	2,5
8	[88] PM 39612	15,13	16,88	17,75	13,63	536,97	598,83	629,72	483,71	141569	2,8
9	[89] PM 39712	15,20	16,89	17,78	12,78	539,27	599,52	630,96	453,68	133307	2,3
10	[90] PM 39812	17,00	18,37	19,08	14,55	603,18	651,92	676,97	516,18	144861	2,2
11	[91] PM 39912	16,61	18,29	19,09	14,28	589,43	648,96	677,55	506,89	158074	2,2
12	[92] PM 40012	15,51	16,56	17,41	12,60	552,33	589,67	619,74	448,62	128328	2,5
13	[93] PM 40112	15,05	16,74	17,73	11,16	532,37	592,00	627,02	394,79	137587	2,5
	Media	15,61	17,13	18,04	12,96	553,72	607,56	640,00	460,00	139413,6	2,55